

# Math-Net.Ru

Общероссийский математический портал

Э. В. Антоненко, Критерии жесткости шпангоутов в теории оболочек, *Исслед. по теор. пластин и оболочек*, 1992, выпуск 25, 47–53

Использование Общероссийского математического портала Math-Net.Ru подразумевает, что вы прочитали и согласны с пользовательским соглашением

<http://www.mathnet.ru/rus/agreement>

Параметры загрузки:

IP: 178.205.19.235

7 июня 2024 г., 16:16:25



Расчетные модели	I	II	III	
			а	б
Оценки для параметров конструкции (номер соотношения)	(I) (7) (8)	(I) (7)	(I) (9)	(I)

## Л и т е р а т у р а

1. Костырко В.В., Красовский В.Л. Исследование влияния эксцентриситета приложения осевой сжимающей нагрузки на устойчивость стрингерных оболочек // Гидроаэромеханика и теория упругости. - 1988. - С.75 - 81.

2. Вербоноль В.М. Устойчивость стрингерных оболочек при учете моментности докритического состояния // Изв. вузов. Строительство и архитектура. - 1988. - № I. - С.32 - 35.

3. Dowling P.J., Harding T.E., Agelidis N., Fany W. Buckling of ortogonally stiffened cylindrical shells used in offshore engineering // Buckling of shell: Proc. of a state of the Art Collogium. - 1982. - P.239.

Э.В.Антоненко

## КРИТЕРИИ ЖЕСТКОСТИ ШПАНГОУТОВ В ТЕОРИИ ОБОЛОЧЕК

Постановка задачи. Термин "абсолютно жесткий шпангоут" обозначает отсутствие перемещений обшивки в месте размещения шпангоута. Математическое описание такого шпангоута представляется, на - пример, в виде  $EI = \infty$  ( $EI$  - изгибная жесткость). В реальных конструкциях шпангоуты имеют конечную жесткость. Расчеты оболочек с абсолютно жесткими шпангоутами существенно проще расчетов с учетом их упругости. Жесткость ребер может существенно влиять на напряженно-деформированное состояние, критические нагрузки и частоты свободных колебаний [1 - 6].

Назовем конечную величину жесткости, при которой шпангоут в данной оболочке ведет себя как абсолютно жесткий, предельной жесткостью  $B_*$ . Применение шпангоутов с жесткостью  $B > B_*$  не может изменять состояния оболочки. Поэтому определение предельных жест-

костей связано с весом (материалоемкостью) конструкции, что особенно важно для оболочек летательных аппаратов.

Рассмотрим напряженно-деформированное состояние (НДС), устойчивость при радиальном и осевом сжатии, частоты свободных колебаний цилиндрических конструктивно ортотропных оболочек с упругими в своих плоскостях краевыми шпангоутами. Получим критерии жесткости шпангоутов.

Метод исследования. Воспользуемся методом [6] и условиями совместности деформации обшивки и шпангоутов. Одно из них - равенство радиальных перемещений обшивки и шпангоута,  $W = W_{ш}$ .

Радиальные перемещения оболочки представим в виде

$$W(x, \varphi, t) = \sum_{n=0}^{\infty} \psi_n(x) \cos n\varphi \cos \omega t, \quad (1)$$

где функции продольной координаты  $\psi_n(x)$  определяются из дифференциального уравнения задачи и граничных условий,  $\varphi$  - угловая координата,  $n$  - числа натурального ряда,  $\omega$  - частота,  $t$  - время.

Дифференциальные уравнения задач теории оболочек получим энергетическим методом с использованием уравнения Эйлера - Лагранжа вариационной задачи

$$\frac{\partial \Gamma}{\partial \psi_n(x)} - \frac{d}{dx} \left[ \frac{\partial \Gamma}{\partial \psi_n'(x)} \right] + \frac{d^2}{dx^2} \left[ \frac{\partial \Gamma}{\partial \psi_n''(x)} \right] = 0, \quad (2)$$

где  $\Gamma = U - A$  - потенциальная энергия единицы длины оболочки,  $U$  - энергия деформации,  $A$  - потенциал внешних сил,

$$U = \frac{1}{2} \oint (m_1 \chi_1 + \delta_1 k_1 \varepsilon_1 + m_2 \chi_2 + \delta_2 k_2 \varepsilon_2) R d\varphi, \quad (3)$$

$m$  - изгибающие моменты,  $\chi$  - изменения кривизн,  $\delta$  - нормальные напряжения,  $\varepsilon$  - относительные деформации,  $k$  - приведенные толщины. Индексы 1 и 2 соответствуют осевой и угловой координатам. Штрихами в (2) обозначено дифференцирование по  $x$ . При осесимметричных деформациях в (3) удерживаются первые два слагаемых, при асимметричных - остальные.

Условия  $W = W_{ш}$  описываются граничными условиями смешанной вариационной задачи

$$\frac{\partial \Gamma}{\partial \psi_n(x)} - \frac{d}{dx} \left[ \frac{\partial \Gamma}{\partial \psi_n'(x)} \right] \pm \frac{\partial \Gamma_{ш}}{\partial \psi_n(x)} \Big|_{x=0;L} = 0, \quad (4)$$

где  $\Gamma_{\text{ш}}$  - потенциальная энергия краевых шпангоутов. В осе- и неосесимметричных задачах

$$\Gamma_{\text{ш}}^0 = \oint \frac{N^2}{2E\ell} R d\varphi, \quad \Gamma_{\text{ш}}^a = \oint \frac{M^2}{2EI} R d\varphi,$$

где  $N$  и  $M$  - нормальные усилия и моменты в поперечных сечениях шпангоута, жесткости которых  $E\ell$  и  $EI$ .

Все задачи описываются дифференциальными уравнениями четвертого порядка относительно  $\psi_n(X)$ . Четыре граничных условия в каждой задаче дают систему уравнений относительно постоянных интегрирования. При решении этих систем появляются критерии жесткости шпангоута  $B$ . Варьируя  $B$  от 0 до  $\infty$  устанавливаются величины  $B_*$ , при которых НДС, критические нагрузки и частоты свободных колебаний отличаются от соответствующих характеристик при  $B=\infty$  на величину менее 10 %.

Напряженно-деформированное состояние. При осе- и асимметричных деформациях оболочки имеем дифференциальные уравнения

$$\psi_n^{IV}(X) + 4K_n^4 \psi_n(X) = T_n(X). \quad (5)$$

В осесимметричной задаче теории оболочек  $n=0$ .

При осесимметричных и асимметричных деформациях

$$K_0^4 = \frac{E_2 h_2}{4D_1 R^2}, \quad K_n^4 = \frac{n^4(n^2-1)^2 D_2}{4E_1 h_1 R^6},$$

$$T_0(X) = \frac{p(X)}{D_1}, \quad T_n(X) = 4K_n^4 \psi_{n0}(X),$$

где  $\psi_{n0}$  - грузовые члены,  $p(X)$  - осесимметричная радиальная нагрузка.

Решение уравнения (5) имеет вид

$$\psi_n(X) = \psi_{n4}(X) + \sum_{i=1}^4 c_{in} \Phi_{in},$$

где частное решение в соответствующих задачах

$$\psi_{04}(X) = \frac{p(X)}{4K_0^4 D_1}, \quad \psi_{n4}(X) = \psi_{n0}(X).$$

Постоянные интегрирования  $c_{in}$ , усилия и перемещения, зависящие от  $c_{in}$  и  $\Phi_{in}$ , оказываются функциями  $\psi_{n4}(X)$  и  $B$

$$B^0 = \frac{2K_0 E \ell}{E_2 h_2}, \quad B^a = \frac{2K_n EI}{D_2}. \quad (6)$$

Например, для осесимметричной задачи перерезывающая сила  $Q_0$  и продольный изгибающий момент  $M_1 = M_0$  в сечениях оболочки у шпангоута имеют вид

$$Q_0 = -\frac{p}{k} \frac{1}{1+B^{-1}} = -\frac{p}{k} \bar{Q}, \quad M_1 = \frac{p}{k^2} \frac{1}{2(1+B^{-1})} = \frac{p}{k^2} \bar{M}.$$

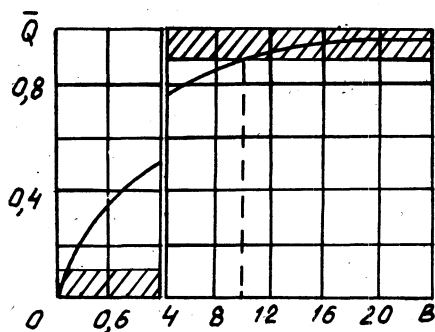


Рис. I

Для абсолютно жестких шпангоутов  $B = \infty$ ,  $\bar{Q}_* = 1$ ,  $\bar{M}_* = 0,5$ , что совпадает с результатами С.П.Ти-мошенко. Зависимость  $\bar{Q} = f(B)$  приведена на рис. I, где зоны отклонения  $\bar{Q}$  от  $\bar{Q}_*$  на величину 10 % заштрихованы. Из этой зависимости следует, что жесткими можно считать шпангоуты при  $B_* \geq 10$ , абсолютно податливыми — при  $B_* \leq 0,1$ .

Величина  $B_*$  была подтверждена тензометрированием нагруженной внутренним давлением оболочки со сменными шпангоутами, имеющими  $B = 0,1 + 50$ , анализом результатов исследования неосесимметричного НДС [5] и эксперимента автора.

Устойчивость оболочки при действии радиального давления. Из (2) следует

$$\psi_n^{IV}(x) - K_n^4 \psi_n(x), \quad K_n^4 = \frac{n^4(n^2-1)^2}{E_1 k_1 R^3} \left[ p_* - \frac{(n^2-1)D_2}{R^3} \right], \quad (7)$$

откуда величина критического давления

$$p_* = \frac{(n^2-1)D_2}{R^3} \left[ 1 + \alpha^4 \frac{E_1 k_1 R^6}{n^4(n^2-1)^2 D_2 L} \right], \quad \alpha = K_n L.$$

Условия (4) дают выражения

$$\psi_n'''(x) \pm B L^{-3} \psi_n(x) \Big|_{x=0; L} = 0, \quad (8)$$

где

$$B = \frac{n^4(n^2-1)^2 EI}{E_1 k_1 R^3} \left( \frac{L}{R} \right)^3. \quad (9)$$

Для ряда граничных условий в [1] получены трансцендентные уравнения  $F(\alpha, \beta) = 0$ , решения которых дают зависимости  $\alpha = \alpha(\beta)$ . Из их анализа следует, что при  $B_* \geq 500$  шпангоуты можно считать абсолютно жесткими. При этом из полученных зависимостей как частные случаи следуют формулы критического давления П.Ф. Папковича и работы [6].

Устойчивость оболочки при осевом сжатии. Критические напряжения  $\sigma_*^0$  при осесимметричной и асимметричной формулах потери устойчивости  $\sigma_*^a$  оказываются различными. Из (2) следуют дифференциальные уравнения

$$\psi_n^{IV}(X) + 2\beta^2 \psi_n''(X) - r^4 \psi_n(X) = 0, \quad (10)$$

где при осе- и асимметричных деформациях

$$2\beta^2 = \sigma_*^0 \frac{k_1}{D_1}; \quad r^4 = \frac{E_2 k_2}{D_1 R^2},$$

$$2\beta^2 = \sigma_*^a \frac{n^2(n^2+1)}{E_1 R^2}, \quad r^4 = \frac{n^4(n^2-1)^2 D_2}{E_1 k_1 R^6}.$$

Граничные условия (4) дают зависимости

$$\psi_n'''(X) + 2\beta^2 \psi_n'(X) \pm BL^{-3} \psi_n(X) \Big|_{X=0;L} = 0, \quad (11)$$

где

$$B^0 = \frac{E_1 R}{D_1} \left(\frac{L}{R}\right)^3, \quad B^a = \frac{n^4(n^2-1)^2 EI}{E_1 k_1 R^3} \left(\frac{L}{R}\right)^3. \quad (12)$$

Вид решения уравнения (10) зависит от соотношения коэффициентов  $\beta$  и  $r$ . Автором исследованы три области решения  $\beta \geq r$ . Для случая  $\beta > r$  имеем

$$\sigma_*^0 = K_* \sqrt{\frac{E_2 k_2 D_1}{k_1^2 R^2}}, \quad \sigma_*^a = K_* \frac{n^2-1}{n^2+1} \sqrt{\frac{E_1 D_2}{k_1 R^2}}, \quad (13)$$

где

$$K_* = \frac{\alpha}{\beta} + \frac{\beta}{\alpha}, \quad \alpha = L \sqrt{\frac{r^2 - \beta^2}{2}}, \quad \beta = L \sqrt{\frac{r^2 + \beta^2}{2}}.$$

Для ряда граничных условий получены уравнения  $F(\beta, \alpha, \beta) = 0$ , которые совместно с уравнением связи параметров оболочки

$$\bar{L} = \sqrt{\alpha\beta} = \frac{L}{R} \sqrt[4]{\frac{E_2 h_2 R^2}{D_1}}$$

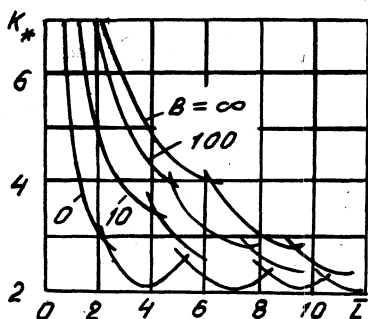


Рис.2

позволяют установить связь  $K_* = f(\bar{L})$ . Для случая заземления краев оболочек на упругих шпангоутах такая связь приведена на рис.2, откуда видно, что для коротких оболочек ( $\bar{L} < 12$ ) критические напряжения зависят от жесткости шпангоутов и длины оболочки. При  $\bar{L} \rightarrow \infty$ ,  $K_* = 2$  для гладких изотропных оболочек из (13) получим как частный случай формулу

$$\sigma_* = \sigma_*^0 = \sigma_*^a = K E \frac{h}{R},$$

где  $K = 0,6$  при значении коэффициента Пуассона, равном 0,3.

Свободные осе- и асимметричные колебания. При осесимметричных деформациях получим уравнение (7), где

$$K_0^4 = \omega^2 \frac{\rho h_\Sigma}{D_1} - \frac{E_2 h_2}{D_1 R^2}, \quad \omega^2 = \frac{E_2 h_2}{\rho h_\Sigma R^2} \left( 1 + \alpha^4 \frac{D_1 R^2}{E_2 h_2 L^4} \right). \quad (14)$$

При асимметричных деформациях получим уравнение (10), где

$$2\beta^2 = \omega^2 \frac{\rho h_\Sigma}{E_1 h_1}, \quad r^4 = \frac{n^4(n^2-1)^2}{E_1 h_1 R^6} - \omega^2 \frac{\rho h_\Sigma n^2(n^2+1)}{E_1 h_1 R^2} \quad (15)$$

Граничные условия (4) дают зависимости (11), в которых

$$B^0 = \frac{E_1 R}{D_1} \left( \frac{L}{R} \right)^3 \left( 1 + \omega^2 \frac{\rho R^2}{E} \right), \quad B^a = \frac{n^4(n^2-1)^2 E I}{E_1 h_1 R^3} \left( \frac{L}{R} \right)^3 \left[ 1 - \omega^2 \frac{(n^2+1) \rho I R^4}{n^2(n^2-1) E I} \right]. \quad (16)$$

Используя трансцендентные уравнения  $F(B, \alpha, \beta) = 0$  и связь параметров оболочки, например, для ситуации  $\downarrow > r$ , получим формулу для расчета  $\omega^a$

$$\omega^2 = \frac{E_1 h_1}{\rho h_\Sigma R^2} \left[ \frac{(\alpha \frac{R}{L})^4 + \frac{D_2}{E_1 h_1 R^2} n^4(n^2-1)^2}{(\alpha \frac{R}{L})^2 + n^2(n^2+1)} \right]. \quad (17)$$

Результаты расчетов по предлагаемым формулам совпадают для частных случаев с результатами [4,6] и экспериментов других авторов.

## Л и т е р а т у р а

1. А н т о н е н к о Э.В. Свободные колебания и устойчивость оболочек с упругими краевыми ребрами // Прикл. механика. - 1975. - № 6. - С.44 - 50.
2. А н т о н е н к о Э.В., З о г о л ь В.Н. и др. Экспериментальное исследование устойчивости цилиндрических оболочек с упруго закрепленными краями // Прикл. механика. - 1980. - № 10. - С.41 - 46.
3. А н т о н е н к о Э.В. Частоты свободных колебаний гладких и подкрепленных цилиндрических оболочек с упруго закрепленными краями // Прикл. механика. - 1989. - № 8. - С.122 - 126.
4. З а р у ц к и й В.А. Приближенные формулы для вычисления минимальных собственных частот колебаний подкрепленных цилиндрических оболочек // Прикл. механика. - 1977. - № 5. - С.43 - 51.
5. К а н С.Н., А н т о н е н к о Э.В. Расчет круговых цилиндрических оболочек на изгиб // Расчет пространственных конструкций. - М.: Госстройиздат, 1964. - Вып.9. - С.161 - 186.
6. К а н С.Н. Строительная механика оболочек. - М.: Машиностроение, 1966. - 508 с.

Г.Д.Гавриленко, В.И.Мацнер, В.Н.Вайсман

### УСТОЙЧИВОСТЬ КОНИЧЕСКИХ ОБОЛОЧЕК СО СПИРАЛЬНЫМ ПОДКРЕПЛЕНИЕМ

Традиционные способы подкрепления оболочек продольно-поперечным набором позволяют добиться определенного уровня повышения несущей способности конструкций. Дальнейшее увеличение ее возможно при использовании нетрадиционных типов подкрепляющего набора, в частности спирального. Если для цилиндрических оболочек этот вопрос в какой-то мере освещен в литературе [1 - 4], то для конических оболочек таких данных нет.

Необходимо разработать методику расчета для конических оболочек и оценить эффективность спирального подкрепления для них.

Рассматривается коническая оболочка со спиральным подкреплением.